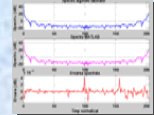


# Sumar



## ✓ Bibliografie

✓ ① Notății și convenții

✓ ② Obiectivul lucrărilor de laborator

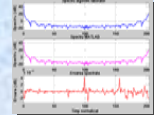
✓ ③ Algoritmul lui Goertzel

☞ ④ Algoritmul FFT bazat pe segmentarea semnalului în timp

⑤ Algoritmul FFT bazat pe segmentarea semnalului în frecvență

⑥ Date de intrare, prezentarea rezultatelor și punctaje

# ④ Algoritmul FFT bazat pe segmentarea în timp



Fast Fourier Transform

## ④.① Principiul segmentării în timp

$$X[k] = \sum_{n=0}^{N-1} x[n] w_N^{nk}, \quad \forall k \in \overline{0, N-1}$$

Segment cu eșantioane de ordin par

Segment cu eșantioane de ordin impar

- Exprimare echivalentă a TFD, pentru  $N = 2M$

$$X[k] = \sum_{m=0}^{M-1} x[2m] w_{2M}^{2mk} + \sum_{m=0}^{M-1} x[2m+1] w_{2M}^{(2m+1)k} \quad \forall k \in \overline{0, N-1}$$

În calculul  $TFD_{2M}$  se poate utiliza o pereche de  $TFD_M$  aplicate segmentelor par și impar ale semnalului original.

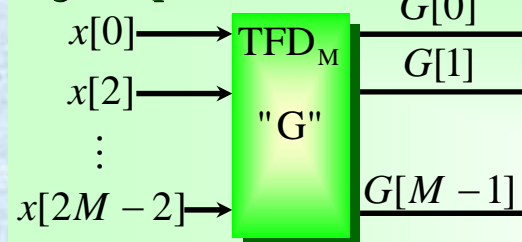
$$X[k] = \underbrace{\sum_{m=0}^{M-1} x[2m] w_M^{mk}}_{G[k]} + w_{2M}^k \underbrace{\sum_{m=0}^{M-1} x[2m+1] w_M^{mk}}_{H[k]} \quad \forall k \in \overline{0, N-1}$$

$w_{2M}^{2mk} = w_M^{mk}$

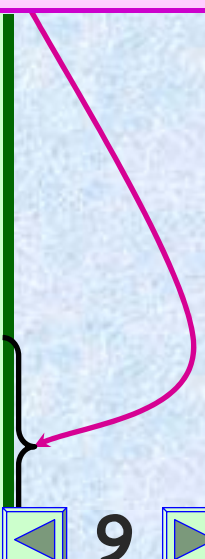
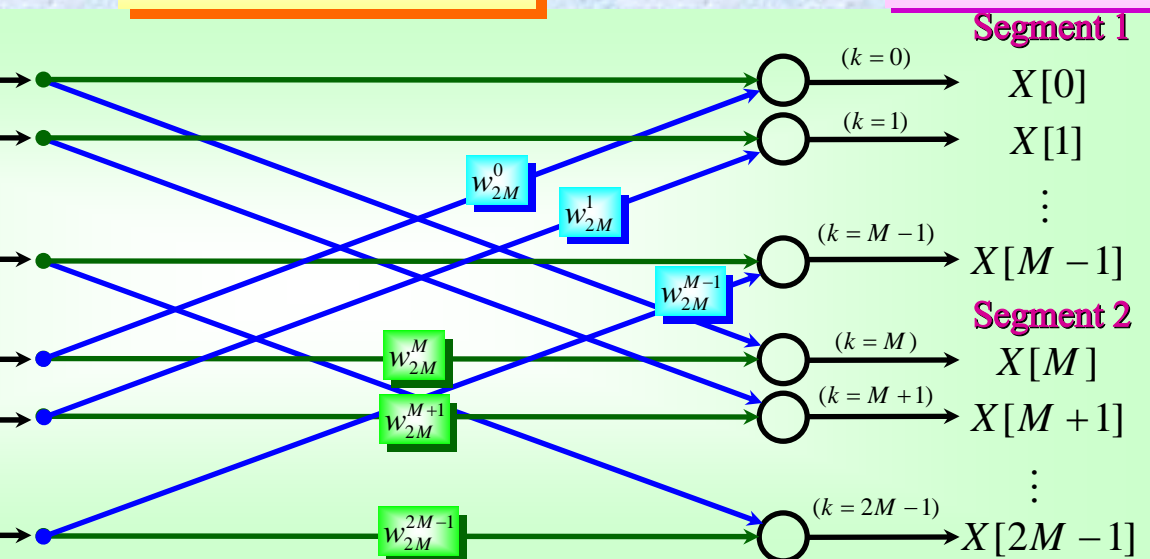
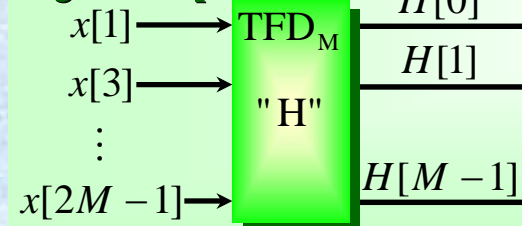
Schema de calcul

Periodicitatea lui  $w_M^{mk}$

Segment par



Segment impar





# ④ Algoritmul FFT bazat pe segmentarea în timp

## ④.① Principiul segmentării în timp

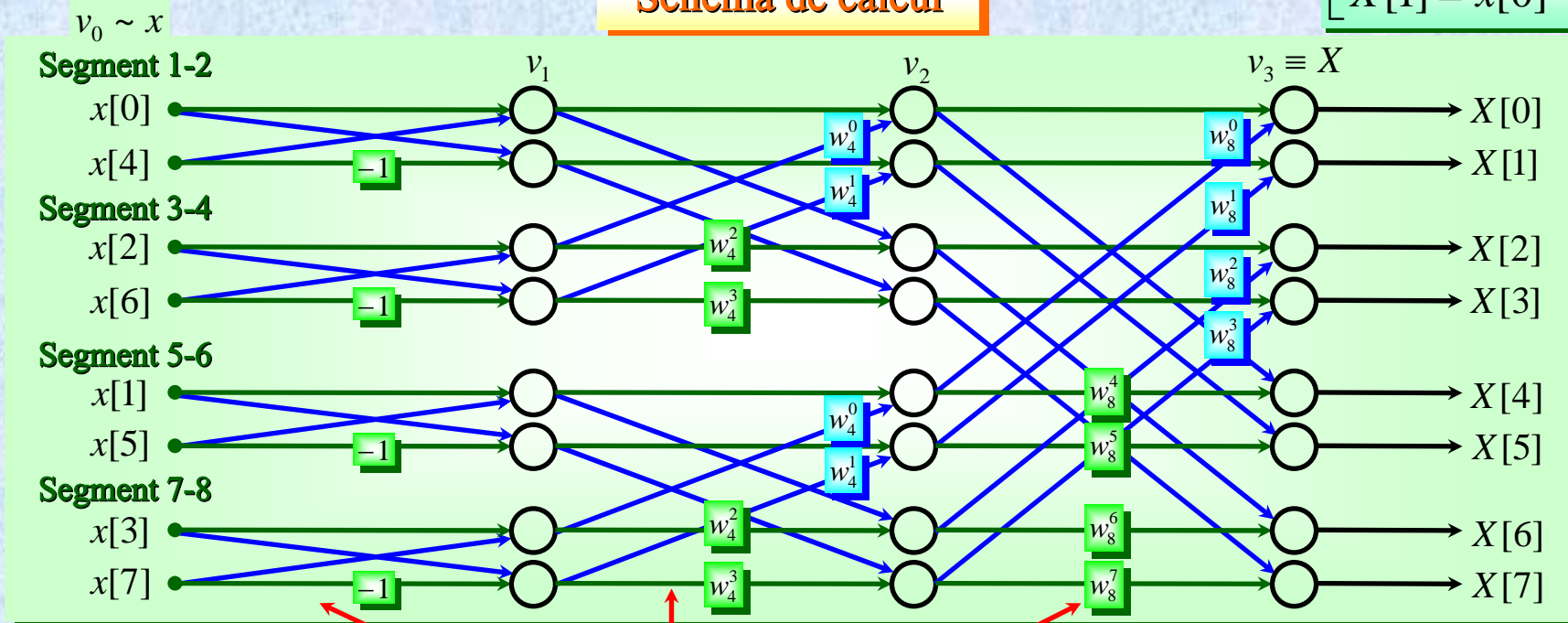
- Dacă  $N = 4M$ , semnalul poate fi partajat în 4 segmente (fiecare segment din perechea anterioară este împărțită într-o nouă pereche de segmente, mai scurte). Rezultă că  $\text{TFD}_{4M}$  poate fi evaluată cu ajutorul a 4  $\text{TFD}_M$ .
- În general, dacă  $N = 2^L$ , semnalul poate fi partajat în  $2^{L-1}$  segmente (fiecare segment avînd doar 2 eșantioane). Rezultă că  $\text{TFD}_N$  poate fi evaluată cu ajutorul a  $(L-1)$   $\text{TFD}_2$ .

Exemplu

$$N = 8 = 2^3$$

Schema de calcul

$$\begin{aligned} X[0] &= x[0] + x[1] \\ X[1] &= x[0] - x[1] \end{aligned}$$

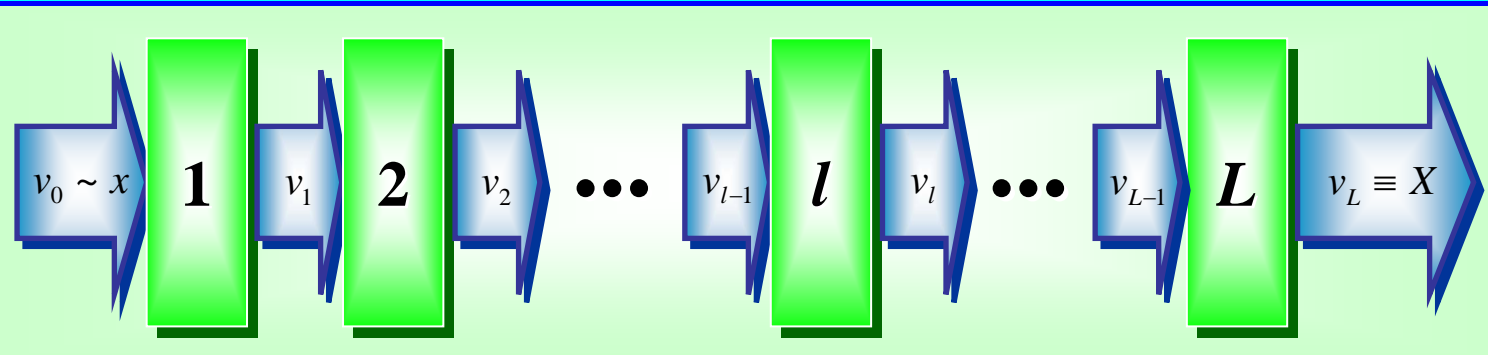


3 trepte de calcul paralel

# ④ Algoritmul FFT bazat pe segmentarea în timp

## ④.② Prima variantă de calcul

- În general, dacă  $N = 2^L$ , valorile  $\text{TFD}_N$  se pot obține cu ajutorul unei scheme de calcul avînd  $L$  trepte de calcul paralel.



Semnalul inițial,  $v_0$ , obținut prin rearanjarea eșantioanelor lui  $x$ , este transformat succesiv în semnalele intermediare  $v_1, v_2, \dots, v_{L-1}$ , semnalul final  $v_L$  fiind coincident cu  $\text{TFD}_N$ .

👉 Fiecare semnal are  $N = 2^L$  eșantioane.

$$v_l \equiv [v_l[1] \ v_l[2] \ \dots \ v_l[N]]^T, \ \forall l \in \overline{0, L}$$

- Practic, semnalul inițial este rafinat succesiv pînă cînd se obține rezultatul final.
- $v_0$  este versiunea grosieră a  $\text{TFD}_N$ .
- Aranjarea eșantioanelor lui  $X$  în  $v_L$ :

$$v_L[k] = X[k-1], \ \forall k \in \overline{1, 2^L}$$

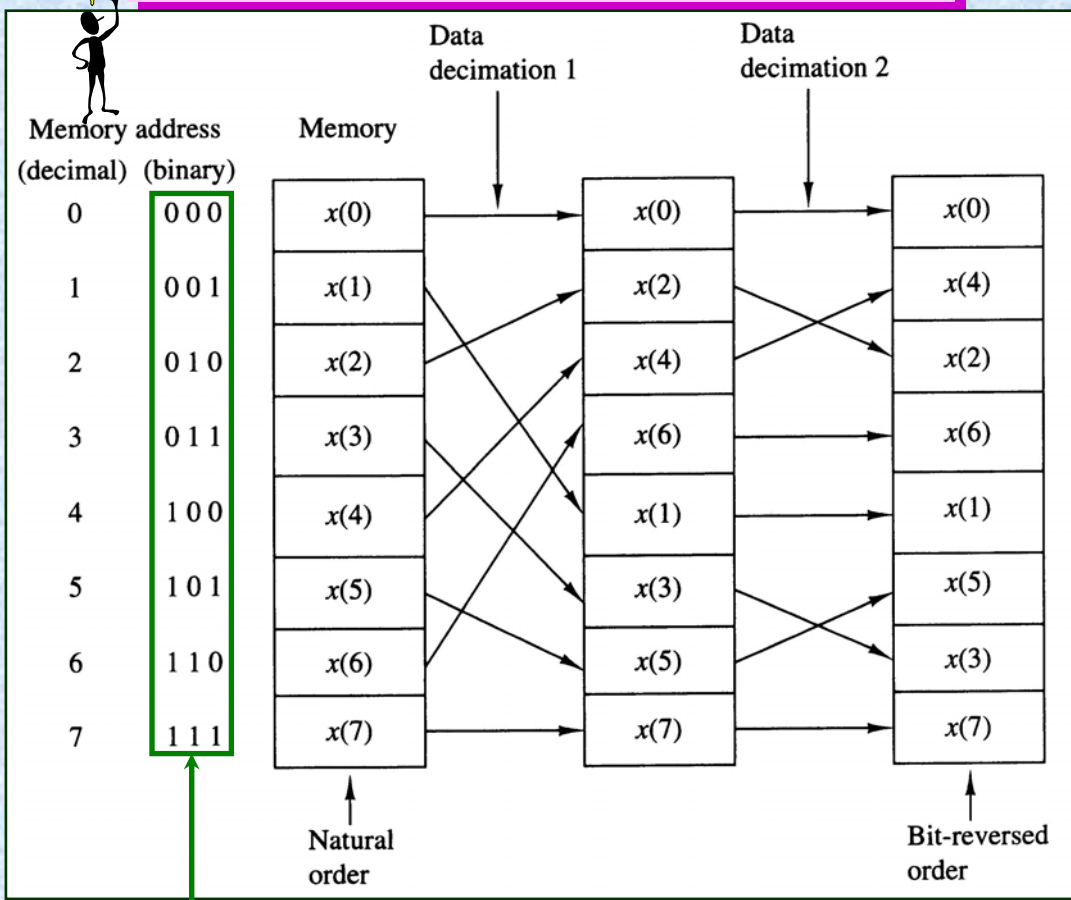
👉 Nu este necesară rearanjarea eșantioanelor.

# 4 Algoritmul FFT bazat pe segmentarea în timp

## 4.2 Prima variantă de calcul

- Cum se poate realiza aranjarea eşantioanelor lui  $x$  în  $v_0$  ?

Prin inversarea binară a indexului inițial.



Observați și maniera de indexare pe nivelul intermediar.

$(n_2 n_1 n_0)$	$\rightarrow$	$(n_0 n_2 n_1)$	$\rightarrow$	$(n_0 n_1 n_2)$
(0 0 0)	$\rightarrow$	(0 0 0)	$\rightarrow$	(0 0 0)
(0 0 1)	$\rightarrow$	(1 0 0)	$\rightarrow$	(1 0 0)
(0 1 0)	$\rightarrow$	(0 0 1)	$\rightarrow$	(0 1 0)
(0 1 1)	$\rightarrow$	(1 0 1)	$\rightarrow$	(1 1 0)
(1 0 0)	$\rightarrow$	(0 1 0)	$\rightarrow$	(0 0 1)
(1 0 1)	$\rightarrow$	(1 1 0)	$\rightarrow$	(1 0 1)
(1 1 0)	$\rightarrow$	(0 1 1)	$\rightarrow$	(0 1 1)
(1 1 1)	$\rightarrow$	(1 1 1)	$\rightarrow$	(1 1 1)

Reprezentare binară a indexului inițial (pe L biți)

Reprezentare binară a indexului de segment (tot pe L biți)



# ④ Algoritmul FFT bazat pe segmentarea în timp

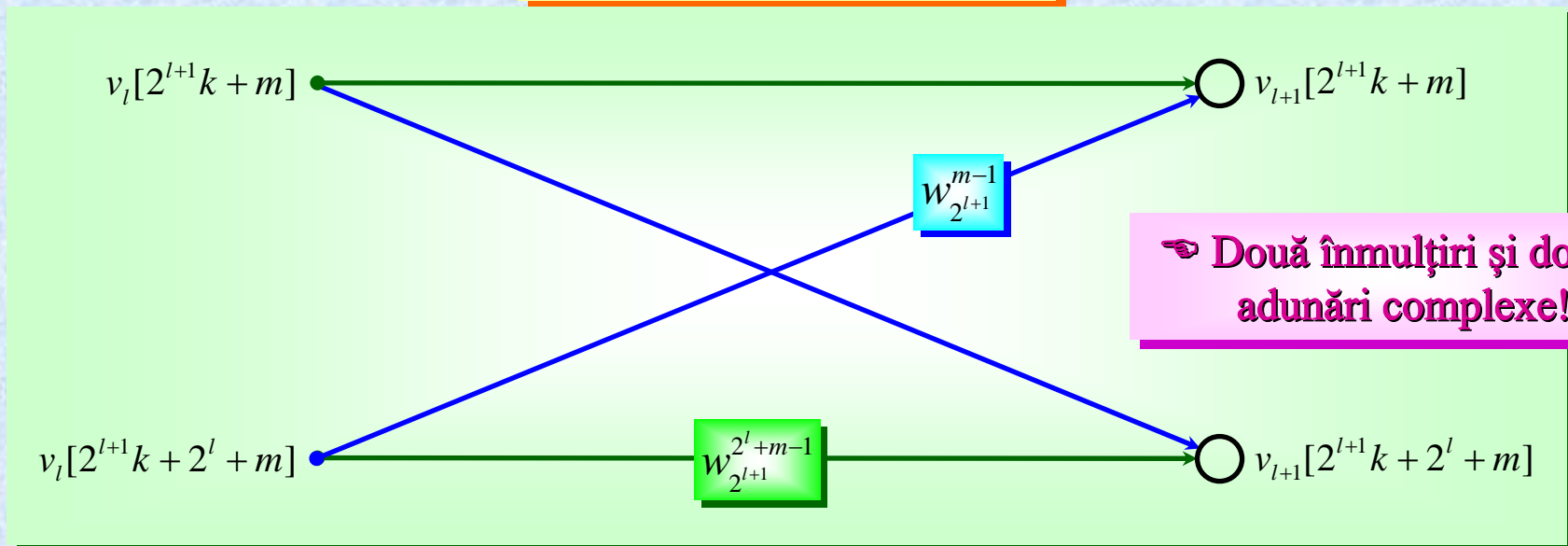
## ④.② Prima variantă de calcul

- **Relațiile de calcul dintre eșantioanele lui  $v_{l+1}$  și  $v_l$ :**

$$\begin{cases} v_{l+1}[2^{l+1}k + m] = v_l[2^{l+1}k + m] + w_{2^{l+1}}^{m-1} v_l[2^{l+1}k + 2^l + m] \\ v_{l+1}[2^{l+1}k + 2^l + m] = v_l[2^{l+1}k + m] + w_{2^{l+1}}^{2^l+m-1} v_l[2^{l+1}k + 2^l + m] \end{cases}$$

$$\begin{cases} \forall l \in \overline{0, L-1} \\ \forall m \in \overline{1, 2^l} \\ \forall k \in \overline{0, 2^{L-l-1} - 1} \end{cases}$$

### Schema generică de calcul



**Număr de operații**

**DFT:**

$$\mathcal{O}_0[N] = [4N^2]_{\bullet} + [2N(2N-1)]_{+} \sim 4N^2$$

**FFT-t:**

$$\mathcal{O}_2[N] = [4N \log_2 N]_{\bullet} + [4N \log_2 N]_{+} \sim 4N \log_2 N$$

# 4 Algoritmul FFT bazat pe segmentarea în timp

## 4.3 A doua variantă (eficientă) de calcul

### • Relații de calcul echivalente:

$$\begin{cases} v_{l+1}[2^{l+1}k + m] = v_l[2^{l+1}k + m] + w_{2^{l+1}}^{m-1} v_l[2^{l+1}k + 2^l + m] \\ v_{l+1}[2^{l+1}k + 2^l + m] = v_l[2^{l+1}k + m] - w_{2^{l+1}}^{m-1} v_l[2^{l+1}k + 2^l + m] \end{cases}$$

$$\begin{cases} \forall l \in \overline{0, L-1} \\ \forall m \in \overline{1, 2^l} \\ \forall k \in \overline{0, 2^{L-l-1} - 1} \end{cases}$$

Antisimetrie:  $w_{2M}^{M+m} = -w_{2M}^m$

### Schema generică echivalentă de calcul

$$v_l[2^{l+1}k + m] \rightarrow \text{---} \rightarrow \text{---} \rightarrow v_{l+1}[2^{l+1}k + m]$$

“butterfly”

$$v_l[2^{l+1}k + 2^l + m] \xrightarrow{w_{2^{l+1}}^{m-1}} \text{---} \xrightarrow{-1} \text{---} \rightarrow v_{l+1}[2^{l+1}k + 2^l + m]$$

Doar o înmulțire și două adunări complexe!

Număr de operații

DFT :

$$\mathcal{O}_0[N] = [4N^2]_{\bullet} + [2N(2N-1)]_{+} \sim 4N^2$$

FFT-t :

$$\mathcal{O}_2[N] = [2N \log_2 N]_{\bullet} + [2N \log_2 N]_{+} \sim 2N \log_2 N$$

Exemplu

$$N = 1024 = 2^{10}$$

$$\mathcal{O}_0[N] \sim 2^{22}$$

$$\mathcal{O}_2[N] \sim 10 \times 2^{11}$$